

ИЗВЕСТИЯ  
ТОМСКОГО ОРДЕНА ТРУДОВОГО КРАСНОГО ЗНАМЕНИ ПОЛИТЕХНИЧЕСКОГО  
ИНСТИТУТА им. С.М. КИРОВА

№ 251

1970

Термическое разложение хлората аммония

Р.Н.Исаев, Ю.А.Захаров, И.М. Краскович, В.И.Чиков

(Представлена научным семинаром кафедры радиационной химии)

Термическое разложение хлората аммония (ХА) изучалось рядом авторов [1-4], однако единого мнения о составе продуктов и механизме разложения ХА до настоящего времени не имеется. В таблице I приведены сведения о составе продуктов термического разложения ХА.

Таблица I  
Состав продуктов разложения

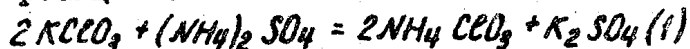
Литературные источники	Состав продуктов	Остаток от разложения
1	$\text{NH}_4\text{NO}_3$ , $\text{N}_2$ , $\text{Cl}_2$ , $\text{H}_2\text{O}$ , $\text{HCl}$	—
2	—, $\text{N}_2$ , $\text{Cl}_2$ , $\text{H}_2\text{O}$ , —, $\text{O}_2$	—
3	—, —, $\text{Cl}_2$ , $\text{H}_2\text{O}$ , —, $\text{O}_2$ , $\text{NH}_3$	—
4	—, $\text{N}_2$ , $\text{Cl}_2$ —, —, $\text{O}_2$ , —, $\text{NO}_2$ , $\text{ClO}_2$	$\text{NH}_4\text{NO}_3$ — $\text{NH}_4\text{ClO}_3$ , $\text{NH}_4\text{NO}_3$ , $\text{NH}_4\text{ClO}_3$

Знание точного состава продуктов распада позволяет составить схему термического разложения ХА, что представляет исключительный интерес для изучения распада аминов хлористо-водородных кислот.

В настоящей работе приводятся результаты исследования термического разложения ХА, масс-спектрометрического анализа газообразных продуктов распада ХА и химического анализа продуктов в твердой фазе.

## МЕТОДИКА ЭКСПЕРИМЕНТА

Хлорат аммония получался по методике, описанной в [5] путем обменной реакции:



с последующим экстрагированием этиловым спиртом. Хранился ХА в эксикаторе над  $P_2O_5$  в темноте при  $-5^{\circ}\text{C}$ . Анализ на содержание  $ClO_3^-$  в ХА проводился по методике [6], ион определялся аргентометрически,  $NH_4^+$  по реакции с дифениламином, гипохлорит и хлорит ионы определялись по методике, описанной в [7]. Масс-спектрометрический анализ газообразных продуктов термораспада выполнялся на спектрометрах типа МХ-1302 [8] (при ионизирующем напряжении 70 в и тоже эмиссии 2 ма) и МИ-1305 (в этом случае ХА разлагалась внутри "печного" ионного источника).

Кинетика термического разложения изучалась на установке, позволяющей фиксировать изменения веса с помощью кварцевых пружинных весов типа Мак-Бена с точностью до  $10^{-5}$  г. Разложение 10 мг образцов ХА проводилось на воздухе в области температур  $80\text{--}95^{\circ}\text{C}$  (при  $100^{\circ}\text{C}$  ХА взрывается). Энергия активации находилась из зависимости коэффициента трансформации от обратной температуры [9]

(2)

$$\chi = \chi_0 e^{-E/RT}$$

## РЕЗУЛЬТАТЫ ЭКСПЕРИМЕНТОВ.

На рис. I в координатах процент разложения - время приводятся кинетические кривые термического разложения ХА в области  $80\text{--}95^{\circ}\text{C}$ . Кривые разложения имеют S - образный вид, характерный для большинства реакций топокимического разложения. Увеличение температуры разложения ведет к сокращению индукционного периода, к возрастанию максимальной скорости распада и увеличению процента разложения. Факт исполненного разложения ХА отмечался и другими исследователями [1, 3, 4], однако качественный состав остатка от разложения ими был найден различным (табл. I). Проведенные нами исследования показали, что основную часть остатка составляет исходная соль

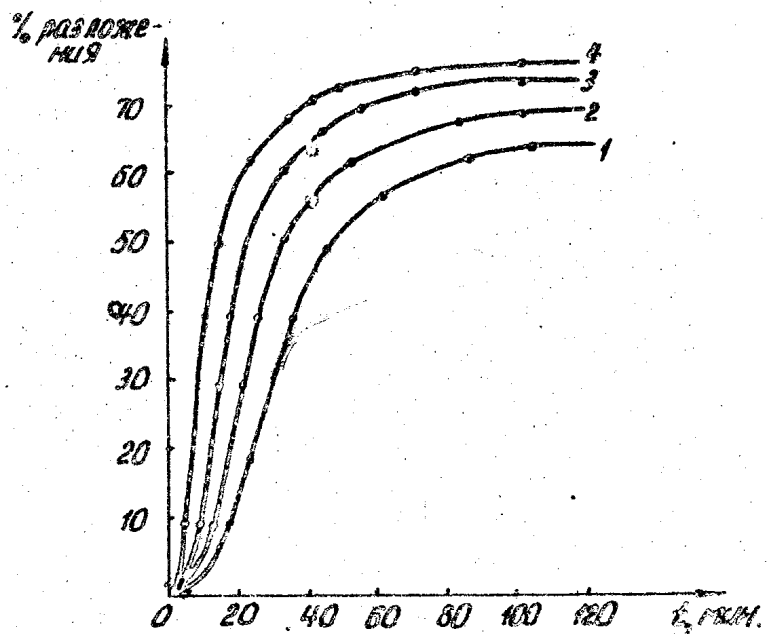


Рис. I. Зависимость скорости разложения хлората аммония от температуры.  
1 - 80°С; 2 - 85°С; 3 - 90°С; 4 - 95°С.

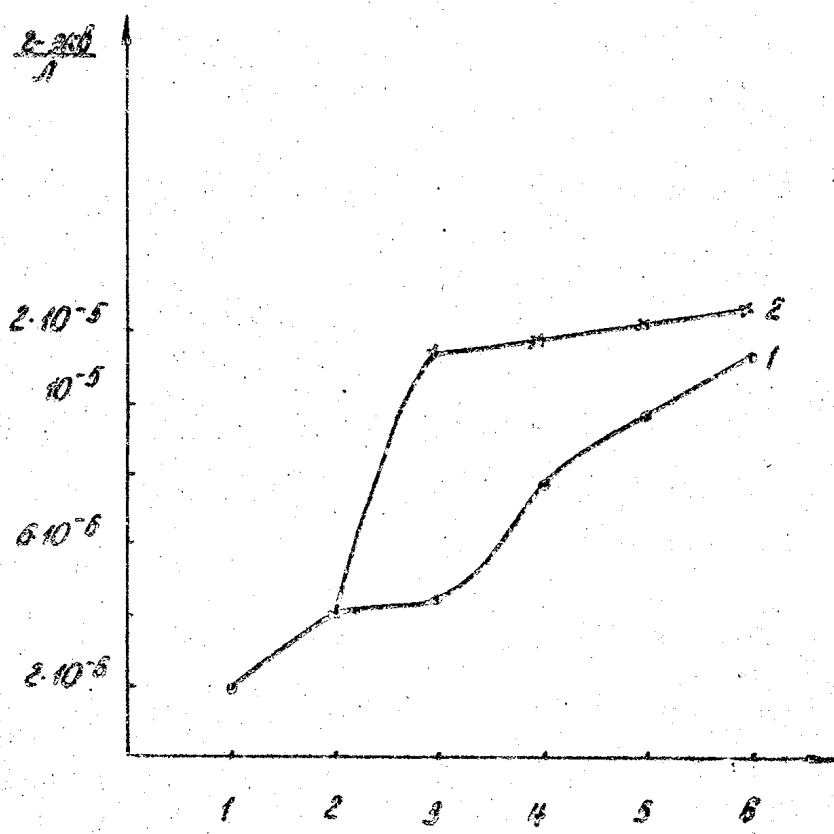


Рис. 2. Накопление хлорсодержащих продуктов спонтанного разложения  $\text{NH}_4\text{ClO}_3$ .

Таблица 2.

<i>m/e</i>	Положительно-заряженные ионы	Относительная интенсивность
12	$C^+$	I
14	$N^+$	7,6
15	$^{15}N^+, NH^+$	4
16	$O^+, NH_2^+$	78,6
17	$OH^+, NH_3^+$	180
18	$H_2O^+$	428
28	$N_2^+, CO^+$	62
30	$NO^+$	104
32	$O_2^+$	19,3
35	$CE^+$	60
36	$HCE^+$	51,5
37	$^{37}CE^+$	20,9
38	$H^{37}CE^+$	16,3
44	$H_2O^+, CO_2^+$	18,6
46	$NO_2^+$	45,7
51	$CEO^+$	19,3
52	$HCEO^+$	5,6
53	$^{37}CEO^+$	5,7
54	$H^{37}CEO^+$	1,3
63	$HNO_3$	I
67	$CO_2^+$	25,8
69	$^{37}CO_2^+$	9,6
70	$Cl_2^+$	100
72	$^{35}CE^{37}CE$	57,2
74	$^{37}CE_2^+$	8,6
84	$HCEO_2^+$	22,3
86	$H^{37}CEO_2^+, Cl_2O^+$	15
88	$^{37}CE^{35}CO^+$	1,9
90	$^{37}CE_2O$	0,45
118	$CE_2O_3^+$	2,7
120	$^{37}CE, ^{37}CEO_2^+$	I,5
122	$^{37}CE_2O_3^+$	0,71

с примесью нитрата и хлорида аммония. Кроме того в составе могут находиться глинохлорит и хлорит ионы, которые были найдены в твердом  $\text{NH}_4\text{ClO}_3$ , при хранении его из воздуха при комнатной температуре (рис. 2).

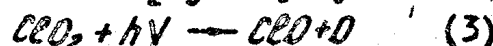
Вычисленное по уравнению (2) значение эффективной энергии активации разложения ХА равно  $24,2 \frac{\text{Ккал}}{\text{моль}}$  и совпадает со значением [24,7], вычисленным для периода начального ускорения разложения [4].

В табл. 2 приводится масс-спектр газообразных продуктов разложения  $\text{NH}_4\text{ClO}_3$  при распаде его в ионном источнике МИ-1305. Масс-спектр включает в себя как промежуточные, так и конечные продукты распада ХА. Из сопоставления данных табл. 2 и результатов масс-спектрометрического анализа на МХ-1302, где нами регистрируются только конечные продукты превращения ХА, мы заключили, что продуктами термодислокации  $\text{NH}_4\text{ClO}_3$  являются:  $\text{H}_2\text{O}$ ,  $\text{N}_2$ ,  $\text{NO}$ ,  $\text{N}_2\text{O}$ ,  $\text{O}_2$ ,  $\text{HCl}$ ,  $\text{Cl}_2$  и  $\text{HNO}_3$ . Промежуточными продуктами являются:  $\text{NH}_3$ ,  $\text{HClO}_3$ ,  $\text{ClO}$ ,  $\text{ClO}_2$ ,  $\text{Cl}_2\text{O}$ ,  $\text{HClO}$  и  $\text{Cl}_2\text{O}_3$ .

Аммиак имеется в составе продуктов разложения ХА, так как в масс-спектре есть осколочный пик с  $m/e = 15$  ( $\text{NH}^+$ ). Двуокись азота, по-видимому, нет, так как интенсивность имеющегося в масс-спектре пика с  $m/e = 46$  находится в пределах величины осколочного пика от азотной кислоты [10]. Для идентификации других окислов азота в качестве продуктов распада ХА, мы воспользовались соотношениями основных и осколочных пиков, полученных в [11].

Окислы хлора отнесены нами к числу промежуточных продуктов, так как нам неизвестен масс-спектр  $\text{HClO}_3$ , а интенсивность имеющихся пиков является суммой интенсивностей продуктов распада  $\text{HClO}_3$  и продуктов ионизации её.

Пики с  $m/e = 118$ ; 120 и 122 отнесены нами к соединению  $\text{Cl}_2\text{O}_3$ , возможность существования которого впервые показана в работе по флем-фотолизу  $\text{ClO}_2$  [12]. Авторы считают, что  $\text{Cl}_2\text{O}_3$  образуется следующим образом:



Наличие в масс-спектре пиков I20 и I22, обусловленных изотопами  $\text{Cl}_2\text{O}_3$ , является подтверждением возможности образования  $\text{Cl}_2\text{O}_3$ .

## ОБСУЖДЕНИЕ РЕЗУЛЬТАТОВ

Приведенные на рис. I кинетические кривые распада ХА показывают, что последний разлагается неполностью. Этот факт отмечают и другие авторы [1,3,4].

Неполное разложение ХА и идентичность по составу основной массы остатка с исходной солью делает похожим термораспад ХА на разложение  $NH_4 ClO_4$ , при котором в области низких температур разлагается лишь 30% соли, можно из соображений аналогии объяснить следующим.

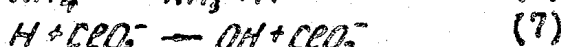
Во-первых, тем, что в первую очередь происходит распад межблочного вещества, связывающего элементы мозаичной структуры кристалла [13], во-вторых, возможно происходит неполное окисление аммиака, который может подавлять реакционные центры распада [14], и в третьих, тем, что начинаются более термостабильные продукты — нитрат — и хлорид аммония.

Фейбрутер [1] полагал, что начальной стадией разложения ХА является autoокисление молекулы  $NH_4 ClO_4$  с образованием азотной кислоты, азота, хлора и воды. Образованная  $HNO_3$  взаимодействует с хлоратом и дает  $HClO$  и перекись хлора, которая окисляет радикалы аммония с образованием  $HNO_3$  и  $Cl_2$ .

Павличенко [2] и Шольмоши [4] считают, что начальной стадией разложения ХА является переход электрона от аниона к катиону:



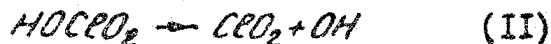
Далее, как полагает Павличенко, радикальноцепной механизм развивается так:



Результаты наших исследований позволяют предположить иную схему распада ХА. Присутствие в продуктах  $NH_3$  и  $HClO_3$  допускает возможность в качестве первой стадии переход протона:



Образовавшиеся молекулы частично десорбируют с поверхности и в холодных местах реакционного сосуда образуют сублимат.  $HClO_3$  довольно нестабильна и поэтому распадается, возможно по схеме:



Продукты распада  $HClO_3$  окисляют аммиак с образованием конечных продуктов. Так как все указанные процессы [I0-I3] происходят в объеме кристалла или на его поверхности, то можно допустить, что процессы распада  $HClO_3$  и окисления  $NH_3$  протекают гетерогенно. Вероятно, что продукты распада  $HClO_3$  могут вступить во взаимодействие с молекулой  $NH_4ClO_3$ . Возможно результатом такого взаимодействия являются такие соединения, как  $Cl_2O$ ,  $Cl_2O_3$ ,  $HClO$ ,  $HClO_2$ .

Изложенная схема термораспада  $NH_4ClO_3$  допускает глубокие аналогии со схемой распада  $NH_4ClO_4$ , может служить основой для экспериментального изучения термораспада ХА.

## ЛИТЕРАТУРА

1. F. Fairbrother. J. Amer. Chem. Soc. 44, 2419 (1920).
2. М.И. Павлюченко. Сб. Гетерогенные реакции", Минск, Из-во Наука и техника, 1961. стр.
3. А.А. Шидловский, Изв. ВУЗов "Химия и хим.технология", №3, 402 (1960).
4. F. Solvato. T. Bansadi, K. Takay, Z. Phys. Chem. N.F. 48, 242 (1966)
5. Г.Брауэр "Руководство по препаративной неорганической химии" Изд-во ин.-лит., 1956, стр. 167.
6. А.Васильев, Е.Штуцер "Журнал прикладной химии", 4, 872, (1931).
7. В.А. Невоструев. Кандидатская диссертация, г. Томск, 1968.
8. Р.Н.Асаев, Ю.А.Захаров, В.В.Бордачев. Ж. физ. химии, 41, 2398, (1967).
9. Н.М. Эмануэль, Д.Г. Кнорре "Курс химической кинетики", Изд-во "Высшая школа", М. 1962.

- I0. R.A.Friedel, J.L.Shultz, A.W.Sharky. Anal. Chem.  
31, II28 (1959)
- II. R.A.Friedel u op. Anal. Chem 25, I3I4 (1953)
- I2. E.T. McHale, G. von Elbe. J. Amer. Chem. Soc. 82, 2795 (1967)
- I3. A.K. Galwey, P.W.M.Jacobs. Trans. Farad. Soc. 56, 581 (1960)
- I4. P.W.M.Jacobs, A.Russel-Jones ATAA Journal 5, 274 (1967).